# ТОМСКОГО ОРДЕНА ТРУДОВОГО КРАСНОГО ЗНАМЕНИ ПОЛИТЕХНИЧЕСКОГО ИНСТИТУТА имени С. М. КИРОВА

Tom 176

## ИЗМЕНЕНИЕ ДОБАВКАМИ РАДИАЦИОННОЙ СТАБИЛЬНОСТИ АЗИДА СВИНЦА

Ю. А. ЗАХАРОВ, С. М. РЯБЫХ

(Представлена научным семинаром кафедры радиационной химии)

В отличие от реакции термического разложения азида свинца, изученной подробно в целом ряде работ [1—3], вопросы радиолиза  $PbN_6$  следует рассматривать как полностью неизученные. В этом направлении имеется лишь несколько сообщений, носящих в основном характер качественных наблюдений процесса радиационного распада  $PbN_6$  [4—5]. В связи с изложенным мы предприняли изучение радиолиза  $PbN_6$  под действием рентгеновского излучения, а также влияния как гетерофазных полупроводниковых добавок, так и гомофазных примесей, образующих твердые растворы с  $PbN_6$ , на радиационную стабильность  $PbN_6$ . Первые полученные нами в этом плане результаты сообщаются в настоящей работе.

#### Материалы и условия эксперимента

Использованный в работе азид свинца был приготовлен осаждением при сливании 0.2~N растворов  $Pb\,(NO_3)_2$  квалификации х. ч. и перекристаллизованного технического  $NaN_3$ . Гетерофазные полупроводниковые добавки —  $Ni_2O_3$ , CoO, CdO и ZnO — вводили в исходный раствор  $Pb\,(NO_3)_2$  во взвешенном состоянии непосредственно перед синтезом. Для введения гомофазных примесей —  $Ag^+$  и  $Cu^{++}$  — соответствующие нитраты растворяли вместе с  $Pb\,(NO_3)_2$  перед осаждением.

Радиолиз был проведен в термостатируемой ячейке, эвакуированной до давления  $10^{-4}$  мм рт. ст. и затем отсекаемой от вакуумной системы. Вес облучаемой навески 500 мг. О степени разложения судили по возрастанию давления азота в реакционной ячейке. Давление измеряли термопарной лампой ЛТ-2, показания которой записывались потенциометром ЭПП-09. Выбор такой методики обусловлен весьма малой степенью разложения азидов при облучении. Источником излучения служил рентгеновский аппарат РУП-200 — 20—5, мощность дозы составляла  $2 \cdot 10^{16}$  эв/г · сек.

### Результаты и их обсуждение

Для выяснения влияния гетерофазных примесей на скорость радиолиза  $PbN_6$  была проведена серия экспериментов при  $20^{\circ}$ С. Кривые разложения чистого  $PbN_6$  и содержащего полупроводниковые добавки приведены на рис. 1.

Для оценки донорно-акцепторных свойств использованных добавок были выполнены измерения работы выхода электрона ( $\phi$ ) из PbN<sub>6</sub> и полупроводников, использованных в качестве добавок [6—7]. Резуль-

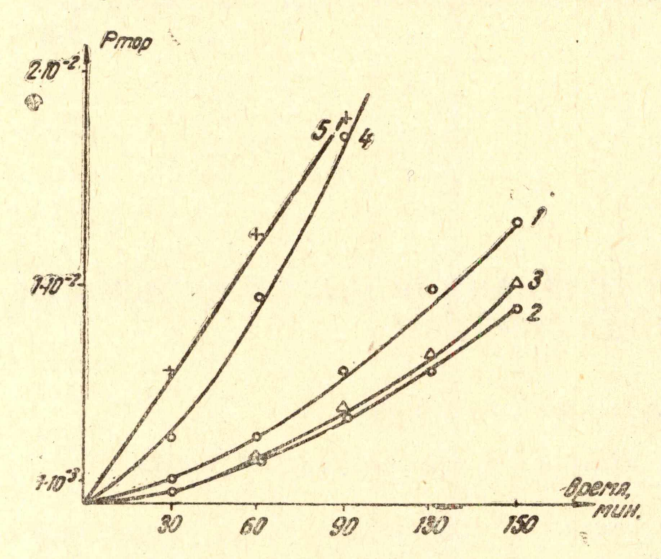


Рис. 1. Радиолиз  $PbN_6$  ( $t^\circ = 20^\circ C$ ). 1— чистый  $PbN_6$ ; 2—  $PbN_6 + 10\%$   $Ni_2O_3$ ; 3—  $PbN_6 + 10\%$  CoO: 4—  $PbN_6 + 10\%$  ZnO; 5—  $PbN_6 + 10\%$  CdO

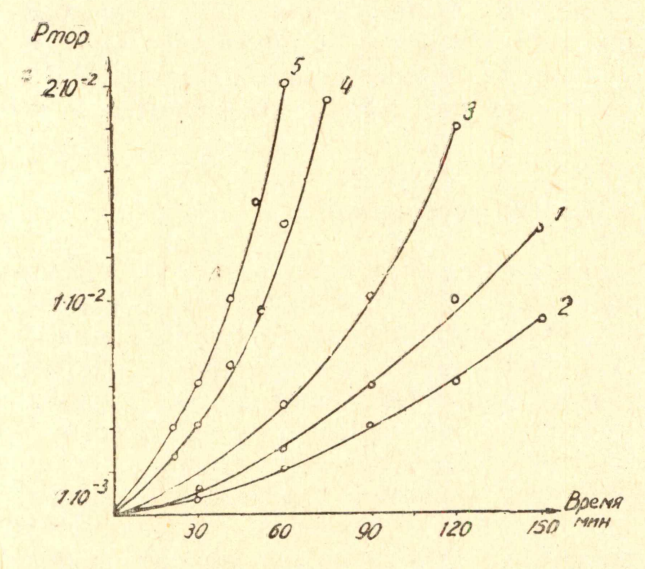


Рис. 2. Радиолиз  $PbN_6$  ( $t^\circ = 20^\circ C$ ). 1 — чистый  $PbN_6$ ; 2 —  $PbN_6+1\%$   $Cu^{+2}$ ; 3 —  $PbN_6+1\%$   $Ag^+$ ; 4 —  $PbN_6+10\%$   $Ag^+$ ; 5 —  $PbN_6+15\%$   $Ag^+$ 

таты измерений ф методом динамического конденсатора приведены в табл. 1.

Специальными опытами было установлено также, что облучение окислов дозами, близкими к использованным в настоящей работе, не приводит, вероятнее всего, к изменениям ф, могущим быть причиной изменений донорно-акцепторных свойств полупроводников.

Из характера расположения кривых на рис. 1 видно, что добавки полупроводников с малой работой выхода электрона — CdO и ZnO — ускоряют радиолиз, тогда как добавки  $Ni_2O_3$  и CoO, имеющие значительную работу выхода электрона, заметно снижают скорость радиолиза  $PbN_6$ .

Ha рис. 2 показано влияние гомофазных примесей — Ад + и Сп ++ — на радиационную стабильность Рь №. Весьма заметно радиационное разложение ускоряет присутствие ионов Ад + в кристаллической решетке PbN<sub>6</sub>, причем эффект стремится к насыпри щению содержании примеси около 10 моль %. При введении в решетку PbN6 ионов Си++ наблюдается противоположный эффект — заметное снижескорости радиолиза, пропорциональное содержанию Си ++ в системе.

Таблица 1

Величины К. Р. П. по отношению к золотому электроду сравнения  $\varphi^{Au}=4,898$  при 20 С и $\rho=10^{-4}$ мм рт. ст.

Соединение	CdO	ZnO	PbN <sub>6</sub>	N <sub>62</sub> O <sub>3</sub>	CoO
φ 38	4,2	4,2	4,4	5,1	5,2

Измерения темновой и фотопроводимости Pb  $N_6$  с добавками Ag и Cu, выполненные в [8], заставляют склониться к мнению, что эти добавки образуют с  $PbN_6$  твердые растворы внедрения. При этом  $Ag^+$  служит донором, а ион  $Cu^{++}$  — из-за небольших размеров и высокого

значения 2-го ионизационного потенциала — акцептором электронов в соответствующих твердых растворах.

Из сопоставления рис. 1 и 2 следует, что зависимость характера влияния примесей на скорость радиолиза PbN<sub>6</sub> от донорно-акцепторных свойств добавок для гетерофазных полупроводниковых и гомофазных примесей качественно подобна.

В обоих случаях радиолиз ускоряют примеси, увеличивающие концентрацию электронов в веществе, а замедляют примеси, уменьшающие число свободных электронов. При этом мы предполагаем, что помещение системы PbN<sub>6</sub>—полупроводник в поле радиации не меняет коренным обра-

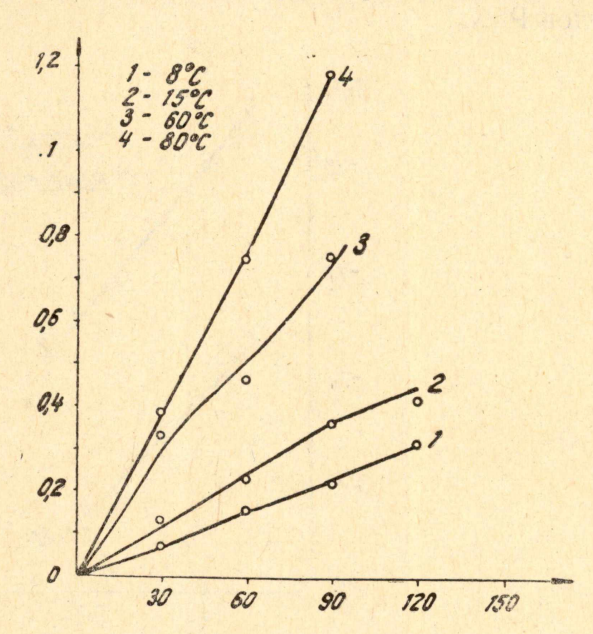


Рис. 3.  $\P$  Радиолиз чистого PbN<sub>6</sub>. 1 — 8°C; 2 — 15°C; 3 — 60°C; 4 — 80°C

зом донорно-акцепторные свойства примесей и направление передачи свободных зарядов в смеси их с  $PbN_6$ . В выполненных нами ранее экспериментах эта точка зрения подтверждалась закономерным измене-

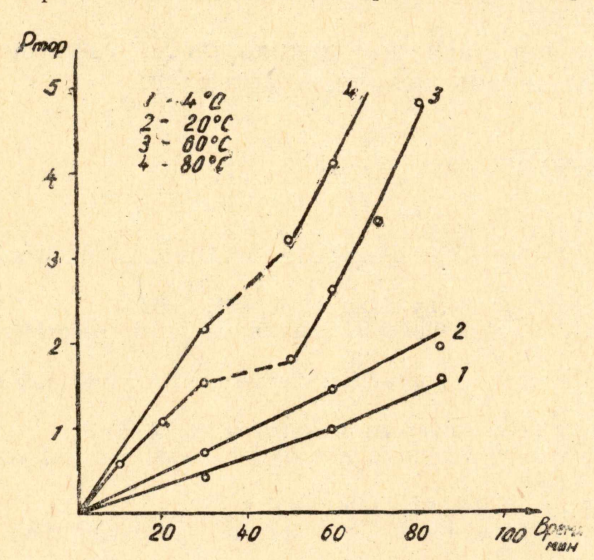


Рис. 4. Радиолиз  $PbN_6 + 10\%$  CdO. 1-4°C; 2-20°C; 3-60°C; 4-80°C

нием каталитической активности полупроводников при изменении их  $\phi$  с помощью допирования примесными ионами [10—11].

Кинетические кривые, показывающие увеличение скорости радиолиза с ростом температуры процесса для чистого PbN<sub>6</sub> и с добавкой CdO, приведены на рис. 3 и 4.

В пределах доз, примененных нами, можно считать, что выделение азота линейно увеличивается со временем. Это приближение позволяет легко определить скорость реакции и константу скорости k. Зависимость lnk от  $1/T^{\circ}$ К, приведенная на рис. 5, позволила определить энергию

активации в обоих случаях, которая оказалась равной  $1600 \ \kappa a \ n / moл b$  для чистого  $PbN_6$  и  $1790 \ \kappa a \ n / moл b$  для  $PbN_6$  с примесью CdO. Можно заключить, что добавка CdO не влияет заметно на энергию активации процесса.

Следует отметить интересную особенность, с которой мы столкнулись при изучении радиолиза PbN<sub>6</sub> с добавкой CdO после прекращения

109

облучения наблюдалось продолжение выделения N<sub>2</sub> с заметной скоростью, особенно значительное при высоких температурах (60—80°C).

Маловероятно, что эта «темновая реакция» обусловлена улучшением условий диффузии азота-продукта радиолиза — к поверхности кристаллов РЬ №.

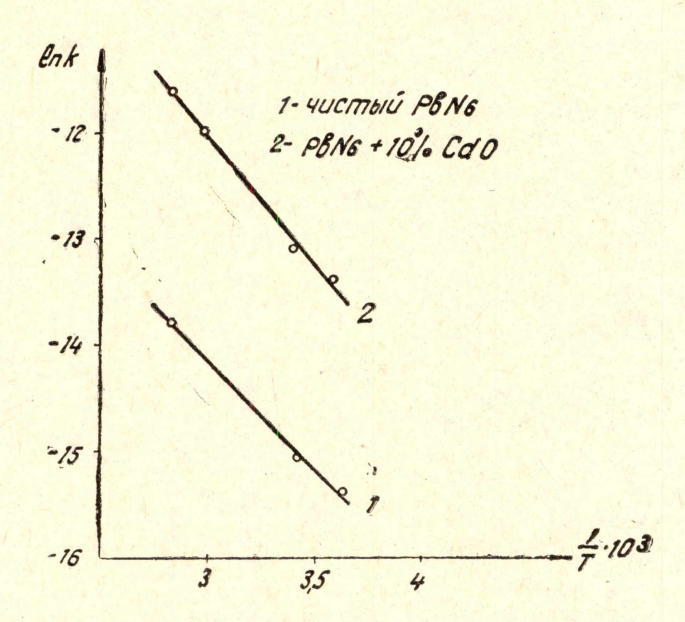


Рис. 5. Графическое определение энергии активации. 1 — чистый  $PbN_6$ ; 2 —  $PbN_6 + 10\%$ . CdO

Более правдоподобно связать темновое выделение  $N_2$  с распадом нестабильных радикалов и промежуточных продуктов, накапливающихся за время облучения в кристаллах.

Подобное явление, обусловленное распадом радикалов N<sub>4</sub>, наблюдали в [12] при изучении фотолиза азидов щелочных металлов.

#### ЛИТЕРАТУРА

- 1. D. A. Goung. J. Chem. Soc., 1341, 1964. 2. B. Reitzner, I. V. R. Kanfman, E. F. Bartell. J. Amer. Chem. Soc., 421, 1962. 3. M. Stammler, J. E. Abel. Adv. in X-ray Analys., 4, 421, 1962.
- 4. В. В. Свиридов. Фотохимия и радиационная химия твердых неорганических веществ, 254, Минск, 1964.
- 5. Сб. Действие ионизирующих излучений на органические материалы, стр. 458-461, M., 1965.
  - 6. Ю. А. Захаров, Г. Г. Савельев. Кинетика и катализ, 8, 1966.
- 7. Г. Г. Савельев, Ю. А. Захаров. Научные доклады высшей школы, серия хим. и хим. технология, 7, № 5, 1964. 8. Ю. А. Захаров, Г. Г. Шечков. ЖФХ, 41, 1691, 1967. 9. Р. А. Васюткова, Ю. А. Захаров, Г. Г. Савельев. Настоящий сбор-
- ник, стр. 131.
  - 10. Ю. А. Захаров, В. А. Невоструев. Кинетика и катализ, 8, 211, 1967.
  - 11. В. А. Невоструев, Ю. А. Захаров. ЖФХ, **42**, № 2, 1968. 12. Р. W. M. Jacobs, Т. Kureichi. J. Chem. Soc., 4723, 1964.